

# 箱形断面構造物の空力応答特性に関する基礎的考察

鹿島大学工学部 正員 宇都宮英彦  
新日本技研(株) 正員。橋本孝夫  
鹿島大学工学部 学生員 寺田幸登

## 1 まえがき

一様な風洞気流中に断面比 1:1, 1:2, 1:4 の断面を有する箱形断面模型を用い、迎角をつけることによる、Strouhal 数、応答特性の変化を調べた。また、後流の流速変動を測定し、煙風洞を用いた流れの観察 (flow visualization) を行ない、応答との対応を試みた。つぎに、格子乱流を用いて乱れの強さとパラメータとして、乱れが応答によよばず影響を調べたのでその結果について述べる。

## 2 迎角と Strouhal 数

1:1 断面;  $5\text{cm} \times 5\text{cm} \times 35\text{cm}$ , 1:2 断面;  $5\text{cm} \times 10\text{cm} \times 35\text{cm}$ , 1:4 断面;  $5\text{cm} \times 20\text{cm} \times 35\text{cm}$  の各模型を風洞測定部ほぼ中央に設置し、迎角 ( $\alpha$  deg.) を変化させ、熱線風速計で後流の流速変動を測定し、スペクトル解析を行ない漏の発生周波数 ( $f_r$ ) を求め、次式で Strouhal 数 (St) を計算した結果を図-1 に示す。

$$St = f_r h / U$$

ただし、 $h$ : 模型代表長 (5cm),  $U$ : 平均風速

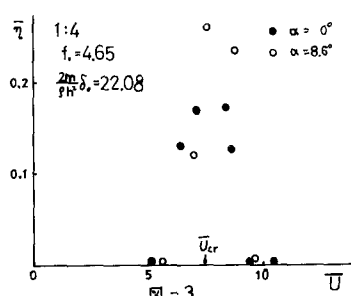
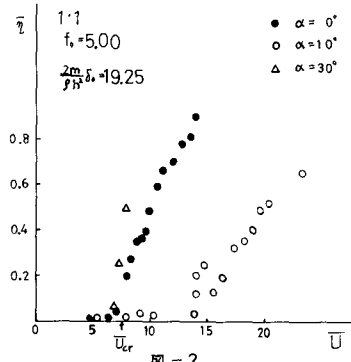
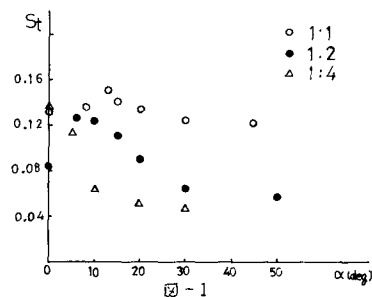
1:1, 1:2 断面では、前縁からはく離したせん断層が模型側面に再付着する迎角 (約 13°, 7°) で Strouhal 数が 0.12 と示す。1:4 断面では、迎角 0° で再付着する断面であり迎角増加に伴い Strouhal 数は減少しているが、上式の  $h$  が迎角の増加に伴い変化する割合が大きいためと考えると、図に示されたほど Strouhal 数の減少は自らと思われる。

## 3. 迎角と応答特性

上記静止模型とは同じ位置に、1:1 断面;  $5\text{cm} \times 5\text{cm} \times 58\text{cm}$ , 1:2 断面;  $5\text{cm} \times 10\text{cm} \times 58\text{cm}$ , 1:4 断面;  $5\text{cm} \times 20\text{cm} \times 58\text{cm}$  の各模型を 2 本のロッドで支持し、迎角を変えて、下記み 1 自由度実験を行なった。図-2 に 1:1 断面、図-3 に 1:4 断面の応答曲線を、縦軸に換算倍振幅  $\bar{\delta}$  (=  $2f_r h / U$ ,  $f_r$ : 積分振動数) 横軸に換算風速  $\bar{U}$  (=  $U/f_r h$ ,  $f_r$ : 積分振動数) をとて示した。

1:1 断面; 迎角 0° では、漏との共振風速  $\bar{U}_{cr}$  ( $= 1/St$ ) 附近から発振し、風琴振動の限定期間は認められず、直線的な応答を示す galloping 振動へと移行している。迎角 10° では、 $\bar{U}_{cr}$  附近で微小振幅より風琴振動が発現し、迎角 0° より少し高い風速で galloping 振動が発振している。その後、迎角の増加に伴い galloping 振動は消滅し、直角附近に風琴振動が現れる、迎角 30° では顕著な応答ピークを示している。1:2 断面では、2 つの不安定領域が存在したため、迎角の変化に伴う応答の変化は、1:1 断面とほぼ同じ傾向を示し、迎角 11° 以上で galloping 振動は消滅した。

1:4 断面;  $\bar{U}_{cr}$  より低い風速域で風琴振動が発現し、実験範囲内では迎角の増加に伴い応答ピークは、(1) 11° に大きくな、(2)  $\bar{U}_{cr}$  は、図-1 で求めたものであり、風琴振動域と重なる、2. で述べた理由によるものであると思われる。



#### 4 後流変動とflow visualization

振動模型後方の流速変動を熱線風速計で測定し、スペクトル解析を行なった。図-4に、周波数(Hz)-換算風速で1:1断面迎角5°の結果を示す。図中○●印は、パワースペクトル中のオ1, オ2, オ3の卓越周波数を示す。 $\bar{f} = 8 \sim 10$ ,  $\bar{f} = 13 \sim 16$  Hzをもとに1次, 2次の浪谷同期現象<sup>1)</sup>、その他の風速域では、Strouhal成分が卓越する部分同期現象<sup>2)</sup>が認められる。また、迎角10°と同様に応答振幅が減少する領域は、混合同期領域から部分同期領域への過渡領域と考えられる。さらに、迎角10°では3次の同期現象が認められ、galloping振動に伴って高次の同期現象の存在が明らかとなる。

煙風洞を用いてflow visualizationを行なう。結果、1:1, 1:4断面の迎角近傍、1:2断面の $\frac{1}{2}$ 断面近傍の風琴振動中の流れを見ることができ、いずれの場合も前線からくびりしたせん断層の模型側面への再付着が認められる。さらに、1:1断面のgalloping振動に伴って風琴振動で存在した模型側面上の渦が小さくなることが認められ、部分同期領域では、さらに発達するものと思われる。

#### 5 乱れが応答に与える影響

模型前方の格子の位置を変えることにより、3種類の乱れの強さ(grid A, B, C; 2%, 25%, 3%)を得た。迎角5°では、ねじ山1自由度実験と上記一樣流実験と全く同じ3種類の模型を行なった。ねじ山1自由度に伴っては、乱れの強さの増加に伴い応答振幅が減少する傾向を示し、図-5に示す最も大きい断面比をもつ1:4断面に伴っては、乱れの強さ3% (grid C) でほとんど振動が消滅している。ねじ山1自由度に伴っては、1:2, 1:4断面とも、乱れの強さの増加に伴い、発振風速は高くなるが、応答振幅は、一样流の場合とほとんど変わらない傾向を示した。図-6に1:2断面の乱れの強さ3% (grid C) の実験結果を示す。

#### 6 むすび

一連の迎角を変化(正静止振動模型実験により)、風琴振動に伴って、応答風速域は、Strouhal数より決まる共振風速附近であり、発生に関しては、交水領域の拡大、特に、側面ではなく主流の側面への再付着が、重要な鍵であると思われる。galloping振動に伴っては、静的3分力試験は行な入なかつたが、準定常理論により説明を試みるものと考えられる。また、高次の同期現象が認められた。

乱れの応答に与える影響としては、ねじ山1自由度では、乱れによるせん断層の厚さの増加、せん断層自体の模型側面への接近に伴う再付着の促進により<sup>2)</sup>、応答振幅が減少する。ねじ山1自由度では、発振風速は高くなるが、応答振幅は、一样流の場合とあまり変わらないことが実験的に確認された。

断面の側面上、限られたデータのみを記した。詳細は、講演当日補足したものと考えていい。

#### 7. 参考文献

- 1) 日野・金子“振動干渉と後流渦の干渉”，土木学会論立報告集 第193号
- 2) 石崎・河井“角柱表面の風圧変動とその周囲の風速変動の相関について”，構造物の耐風性に関する第4回ミニポジラム論立集 1976年

